

eIF4E 基因下调对人乳腺癌 Bcap37 细胞凋亡的影响

林 宇 许惠玉 邹 宇 崔红霞 刘吉成

摘要 目的 应用化学合成的 siRNA 干扰乳腺癌 Bcap37 细胞真核细胞翻译起始因子 4E (eukaryotic translation initiation factor 4E, eIF4E) 的表达, 探讨其对乳腺癌细胞凋亡和生长周期的影响。**方法** 化学合成 eIF4E 基因的 siRNA, 转染人乳腺癌 Bcap37 细胞, 采用 Western blotting 法及 RT - PCR 法检测转染前后 Bcap37 细胞中 eIF4E 蛋白和 mRNA 表达; 应用流式细胞技术检测转染前后细胞周期的变化; AO/EB 双染色法检测细胞凋亡; 酶标仪检测 caspase - 3 活性。**结果** RT - PCR 与 Western blotting 法检测结果显示, 转染 eIF4E - siRNA - 3# 组细胞 eIF4E 基因的 mRNA 和蛋白表达均明显下降 ($P < 0.01$); eIF4E - siRNA 转染组 G₁ 期细胞比例显著增加, S 期细胞比例相对减少, 差异显著 ($P < 0.05$); 转染 eIF4E - siRNA 可诱导细胞凋亡, caspase - 3 活性亦增强。**结论** eIF4E - siRNA 可下调 eIF4E 基因在乳腺癌 Bcap37 细胞中的表达水平, 诱导细胞凋亡。

关键词 真核细胞翻译起始因子 细胞凋亡 Bcap37

Effects of eIF4E Gene Down - regulation on Apoptosis of Human Breast Cancer Cell Line Bcap37. Lin Yu, Xu Huiyu, Zou Yu, Cui Hongxia, Liu Jicheng. Qiqihar Medical College, Heilongjiang 161006, China

Abstract Objective To investigate the effect of down - regulation of eIF4E on the apoptosis and cell cycle of human breast cancer Bcap37 cells. **Methods** The siRNA of eIF4E by chemical synthesis was transfected into breast cancer Bcap37 cells. The expressions of eIF4E mRNA and protein were examined by RT - PCR and Western blotting. AO/EB doubly staining and microplate spectrophotometer were used to detect the apoptosis and activity of caspase - 3. **Results** The expression of eIF4E mRNA and protein were all decreased markedly after transfection with eIF4E - siRNA - 3#. The results of cell cycle detection showed that the percentage of Bcap37 cells in the G₁ phase obviously increased, while the percentage of Bcap37 cells in the S phase significantly reduced ($P < 0.05$). It also can induce apoptosis of cells and increase the activity of caspase - 3. **Conclusion** Transfection with eIF4E - siRNA - 3# can down - regulate eIF4E gene expression in human breast cancer Bcap37 cells and induce apoptosis of cells.

Key words eIF4E; Apoptosis; Bcap37

真核细胞翻译起始因子 (eukaryotic translation initiation factor 4E, eIF4E) 能够与真核细胞 mRNA 5' 端帽子结构特异结合, 是蛋白质翻译起始的限速因子。其异常表达可使相关基因产物随之上调, 改变细胞表型, 诱导细胞转化而发生癌变^[1,2]。在人类多种肿瘤组织(如头颈鳞癌、白血病、胃癌、结肠癌、乳腺癌)中都发现 eIF4E 的高表达, 并且与疾病进展相关, 表明其过度表达能促进细胞恶性转化^[3~5]。本实验采用化学合成 eIF4E 的特异 siRNA, 转染人乳腺癌 Bcap37 细胞, 观察其对细胞凋亡的影响及可能机制。

材料与方法

1. 实验材料: 人乳腺癌 Bcap37 细胞株购自上海中科院细胞库, ATCC 细胞; RPMI1640 培养基为美国 Gibco 公司产品;

吖啶橙 (AO)、溴乙锭 (EB)、Ac - DEVD - pNA 为 sigma 公司产品; 细胞周期检测试剂盒购自南京凯基生物; RT - PCR 试剂盒购于大连宝生物; Lipofectamine 2000 美国 Invitrogen 公司产品; 兔抗人 eIF4E 单克隆抗体、鼠抗人 GAPDH 多克隆抗体购于 Cell Signaling; eIF4E - siRNA 由上海吉凯公司设计合成, 其他试剂均为国产分析纯。

2. siRNA 的转染与筛选: 人乳腺癌细胞 Bcap37 用含 10% 胎牛血清的 PRMI1640 培养基, 37℃, 5% CO₂, 培养箱中常规培养, 取对数生长期细胞以 4×10^5 密度接种于 6 孔板, 细胞融合达 50% 时进行转染。实验分为未转染组、阴性对照组(正义链: 5' - UUCUCCGAACGUGUCACGUtt - 3', 反义链: 5' - ACGUGACACGUUCGGAGAAtt - 3')、eIF4E - siRNA - 1#(正义链: 5' - GGAUGGUUAUGAG CCUAUGtt - 3', 反义链: 5' - CAUAGGCUCAAUACCAUCCtt - 3')、eIF4E - siRNA - 2#(正义链: 5' - GGACGAUG GCUAAUUACAUtt - 3', 反义链: 5' - AUGUAAUUAGCCAUCGUCCtt - 3')、eIF4E - siRNA - 3#(正义链 5' - CCUGAUUCCCAAGUUUGAUtt - 3', 反义链: 5' - AUCAAACUU GGAGAACAG Ctt - 3')。转染步骤按照脂质体试剂说明书进行, 转染 siRNA 浓度均为 50 nmol/L。转染 48 h 后,

基金项目: 国家自然科学基金资助项目(30973902)

作者单位: 161006 齐齐哈尔医学院(林宇、许惠玉、崔红霞、刘吉成); 150040 哈尔滨, 黑龙江中医药大学(邹宇)

通讯作者: 刘吉成, 电子信箱: qyybliu@126.com

收获细胞。

3. RT - PCR 法检测细胞 eIF4E mRNA 的表达: 收集转染 48h 的细胞, Trizol 试剂提取细胞总 RNA, 根据反转录试剂盒说明书的方法反转录成 cDNA, 以 cDNA 为模板, 引物 5' - ACG GAA TCT AAT CAG GAG GT - 3' (上游), 5' - TTC CCA CAT AGG CTC AAT A - 3' (下游), 用以检测 eIF4E 基因 mRNA 的表达, 扩增产物长度 246bp。同时设置 GAPDH 为内参照, 其上游引物为 5' - GCG CCT GGT CAC CAG GCC TGC TT - 3', 下游引物为 5' - TGC CGA ACT GGT CGT GGA TGA CCT - 3', 扩增片段长度为 506bp。反应条件为 94℃ 3min, 94℃ 20s, 56℃ 30s, 72℃ 20s, 循环 34 次, 末端延伸 72℃ 10min。PCR 产物上样于 2% 琼脂糖凝胶进行电泳, UV 照相和密度扫描。

4. Western blotting 法检测 eIF4E 蛋白表达: 收集转染后细胞, 于冰上加入 100μl 细胞裂解液, 孵育 20min 后 4℃, 12000g 离心 20min, 收集上清为细胞总蛋白, BCA 试剂盒测定蛋白浓度。40μg 总蛋白经 12% SDS - PAGE 电泳分离后转移到硝酸纤维素膜上, 5% 脱脂奶粉室温封闭 2h, 加入兔抗人 eIF4E 单克隆抗体 (1: 1000 稀释)、鼠抗人 GAPDH 多克隆抗体 (1: 3000 稀释) 4℃ 过夜, TBST 洗膜后加入二抗 (山羊抗兔和山羊抗鼠均为 1: 2000 稀释) 室温孵育 2h, TBST 洗膜后, ECL 发光试剂显色, X 线片曝光成像。

5. 流式细胞仪检测细胞周期变化: 按照试剂盒说明书严格操作, 收集转染与未转染 siRNA48h 的细胞, 2000r/min 离心 5min, 收集并调整细胞浓度为 10⁶, 加入 70% 乙醇, 4℃ 固定 4h 以上, 染色前 PBS 洗去固定液, 加入 100μl RNaseA 37℃ 水浴 30min, 400μl PI 4℃ 避光染色 30min 后上机检测, 激发波长 488nm。

6. AO/EB 染色法检测细胞凋亡: 细胞接种于 24 孔板, 待细胞 50% 融合时, 转染 si - eIF4E 50nmol/L, 48h 后吸除培养基, 每孔加入 PBS 稀释的 AO (100μg/ml) 和 EB (100μg/ml) 等体积混合的荧光染液 200μl。37℃ 避光孵育 2h 以上, PBS 洗 1 次, 盖片封片后荧光显微镜观察照相。

7. caspase - 3 活性检测: 收集转染与未转染的细胞, 按照上述方法提取细胞总蛋白, 将样品蛋白浓度定量为 4μg/μl, 反应体系含 40μl 样品, 10μl Ac - DEVD - pNA (20μmol/L)、50μl 2 倍反应缓冲液 (100mmol/L HEPES, 2% 甘油, 5mmol/L DTT, 0.5mmol/L EDTA), 37℃ 避光孵育 2h 以上, 酶标仪检测 405nm 出光值, 吸光值直接反应 caspase - 3 活性。

8. 统计学方法: 实验数据以均数 ± 标准差 ($\bar{x} \pm s$) 表示, 采用 SPSS 11.0 统计软件 One - Way ANOVA 进行处理分析, 多组间比较采用单因素方差分析, 两组间比较采用 LSD - t 检验, 以 $P < 0.05$ 为差异有统计学意义。

结 果

1. 筛选 eIF4E - siRNA 有效干扰序列: 采用 RT - PCR 法检测转染不同的 3 条 eIF4E - siRNA 对 Bcap37 细胞 eIF4E 基因 mRNA 表达水平的影响。如图 1 所示, eIF4E - siRNA - 3# 的抑制作用最明显, 抑制率达 70.6%。

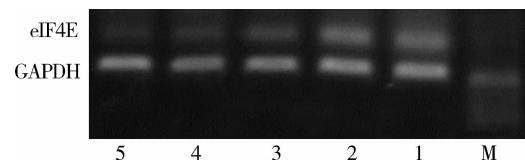


图 1 siRNA 片段抑制 Bcap37 细胞 eIF4E 的 mRNA 水平表达

M. DNA 分子质量标准; 1. 空白对照; 2. 阴性对照; 3. eIF4E - siRNA - 1#; 4. eIF4E - siRNA - 2#; 5. eIF4E - siRNA - 3#

Western blotting 法检测 eIF4E - siRNA 对 Bcap37 细胞 eIF4E 蛋白表达的影响。结果与对 mRNA 水平表达的作用相符, eIF4E - siRNA - 3# 的基因沉默效应最强, 可达 85% (图 2)。因此我们选择 eIF4E - siRNA - 3# 作为 eIF4E 功能研究的有效干扰片段, 进行后续试验研究。

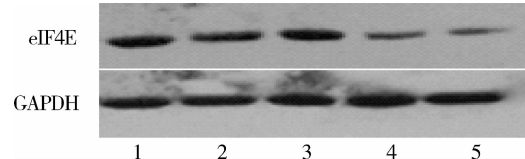


图 2 siRNA 片段抑制 Bcap37 细胞 eIF4E 的蛋白表达

1. 空白对照; 2. 阴性对照 siRNA; 3. eIF4E - siRNA - 1#; 4. eIF4E - siRNA - 2#; 5. eIF4E - siRNA - 3#

2. eIF4E - siRNA 对 Bcap37 细胞周期和细胞凋亡的影响: 细胞周期可反映细胞的增殖状态, 所以我们采用流式细胞术检测了转染 50nmol/L eIF4E - siRNA48h 的 Bcap37 细胞和未转染的 Bcap37 细胞的细胞周期情况, 结果发现, 转染 eIF4E - siRNA 的细胞 G₁ 期比例由 55.3% 增加到 66%, S 期细胞比例减少, 差异有统计学意义 ($P < 0.05$)。提示细胞被阻滞在 G₁ 期。

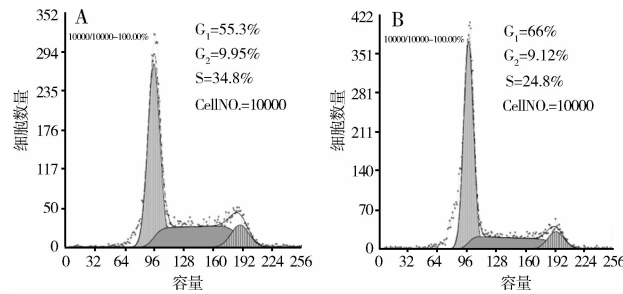


图 3 si - eIF4E 对 Bcap37 细胞周期的影响

A. 未转染的 Bcap37 细胞; B. 转染 50nmol/L si - eIF4E 48h 的 Bcap37 细胞

吖啶橙 (AO) 能透过胞膜完整的细胞, 嵌入细胞核 DNA, 使之发出明亮的绿色荧光。溴乙锭 (EB) 能透过胞膜受损的细胞, 嵌入核 DNA, 发橘红色荧光。

凋亡的细胞呈现为染色增强, 荧光更为明亮, 均匀一致的圆状或固缩状、团块状结构。在荧光显微镜下观察, 正常活细胞, 核染色质着绿色并呈正常结构(图4A)。转染 50nmol/L si - eIF4E 48h 的 Bcap37 细胞核染色质着绿色及橘红色, 呈固缩状或圆珠状。表明细胞出现明显凋亡。

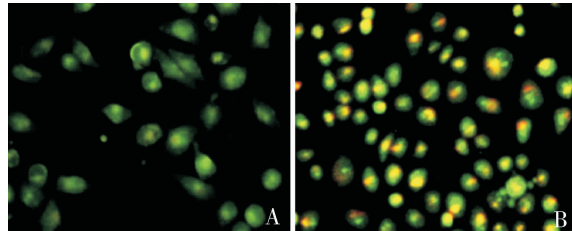


图 4 si - eIF4E 对 Bcap37 细胞的诱导凋亡作用 ($\times 200$)

A. 未转染的 Bcap37 细胞; B. 转染 50nmol/L si - eIF4E 48h 的 Bcap37 细胞

3. eIF4E - siRNA 对 caspase - 3 活性的影响: caspase - 3 是细胞凋亡过程中的一个关键酶。caspase - 3 活性检测是基于 caspase - 3 可以催化底物 Ac - DEVD - pNA 产生黄色的 pNA(p - nitroaniline), pNA 在 405nm 附近有强吸收, 因此可以通过测定吸光度来检测 caspase - 3 的活性。实验通过转染不同浓度的 eIF4E - siRNA, 发现分别转染 20、50、100nmol/L 的 si - eIF4E, caspase - 3 活性增强为 9.43 ± 2.10 、 11.3 ± 2.32 、 19.7 ± 1.45 , 与对照组 5.12 ± 1.22 相比差异显著($P < 0.05$), 见图 5。

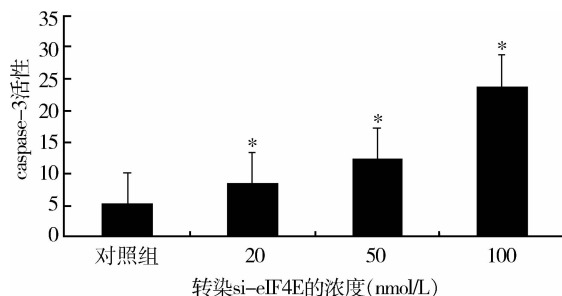


图 5 si - eIF4E Bcap37 转染 si - eIF4E 的浓度 (nmol/L)
细胞 caspase - 3 活性的影响

与对照组相比, * $P < 0.05$

讨 论

真核细胞翻译起始因子 eIF4E 与肿瘤发生发展的关系日益受到重视, 其高表达于多种肿瘤细胞, 通过调控肿瘤相关基因 mRNA 的翻译参与肿瘤发生发展。eIF4E 的过度表达会导致正常情况下不被翻译的含有长 5' - UTR 的 mRNA 基因产物如血管内皮生长因子、细胞周期调节蛋白等原癌基因蛋白产物上调, 导致细胞恶性转化和分裂, 引起肿瘤发生^[6-8]。

研究发现在人乳腺癌组织中有 eIF4E 的高表达, 乳房良性组织中未见其过度表达。降低乳腺癌细胞中原癌基因 eIF4E 的表达, 癌细胞的生长受到明显抑制。因此, 设想 eIF4E 基因可成为肿瘤治疗的新靶点。

本实验针对 eIF4E 靶基因设计合成了 3 条 siRNA 干扰序列, 通过 RT - PCR 和 Western blotting 法检测 eIF4E 基因的干扰效果, 筛选出干扰效果最强的一条序列 eIF4E - siRNA - 3#, 用于后续试验研究。通过流式细胞仪与 AO/EB 染色法分析了转染后细胞周期与凋亡的变化, 结果显示 eIF4E 基因干扰后, 细胞生长抑制, 细胞周期阻滞在 G₁ 期, 并诱导细胞凋亡。从形态学上证实了干扰 eIF4E 基因对 Bcap37 凋亡的作用后, 我们进一步检测了干扰 eIF4E 基因后细胞内的 caspase - 3 活性。caspase - 3 是 caspase 蛋白酶家族最重要成员之一, 是细胞凋亡的执行因子, 凋亡早期的检测指标。本实验通过转染 eIF4E 基因的干扰 siRNA, 发现细胞的 caspase - 3 活性随着 eIF4E 基因的干扰强度增大有增加的趋势。说明 eIF4E 基因与细胞凋亡的关系与线粒体信号途径有关, 但是具体作用机制还有待深入研究。综上所述, eIF4E - siRNA 可有效抑制 eIF4E 原癌基因的表达, eIF4E 分子有望成为乳腺癌基因治疗的新靶点。

参 考 文 献

- Dong K, Wang R, Wang X, et al. Tumor specific RNAi targeting eIF4E suppresses tumor growth, induces apoptosis and enhances cisplatin cytotoxicity in human breast carcinoma cells [J]. Breast Cancer Res Treat, 2009, 113 (3): 443 - 456
- Fan SQ, et al. Phosphorylated eukaryotic translation initiation factor 4 (eIF4E) is elevated in human cancer tissues [J]. Cancer Biol Ther, 2009, 8 (15): 1463 - 1469
- De Benedetti A, Graff JR. eIF4E expression and its role in malignancies and metastases [J]. Oncogene, 2004, 23 (18): 3189 - 3199
- Zhou S, Wang GP, Liu C, et al. Eukaryotic initiation factor 4E (eIF4E) and angiogenesis: prognostic markers for breast cancer [J]. BMC Cancer, 2006, 30 (6): 231
- Thummia SC, Kratzke RA. Translational control: a target for cancer therapy [J]. Cancer Lett, 2007, 258 (1): 1 - 8
- Hagner PR, Schneider A, Gartenhaus RB. Targeting the translational machinery as a novel treatment strategy for hematologic malignancies [J]. Blood, 2010, 115 (11): 2127 - 2135
- Li Y, Yue P, Deng X, et al. Protein phosphatase 2A negatively regulates eukaryotic initiation factor 4E phosphorylation and eIF4E assembly through direct dephosphorylation of Mnk and eIF4E [J]. Neoplasia, 2010, 12 (10): 848 - 855
- Culjkovic B, Topisirovic I, Borden KL. Controlling gene expression through RNA regulons: the role of the eukaryotic translation initiation factor eIF4E [J]. Cell Cycle, 2007, 6 (1): 65 - 69

(收稿:2011-09-06)

(修回:2011-09-15)